



شناسایی گروه های مختلف تاکسونومیکی قارچ های *Rhizoctonia spp.* مربوط به پوسیدگی ریشه و طوقه چغندر قند با آنالیز PCR-RFLP و rDNA-ITS

ماهرخ فلاحی رستگار^۱- پریسا طاهری^{۲*}- بهروز جعفر پور^۳- حمید روحانی^۴- عصمت مهدیخانی مقدم^۰

تاریخ دریافت: ۸۸/۳/۱۹

تاریخ پذیرش: ۸۸/۱۰/۹

چکیده

جدایه های Rhizoctonia spp. بحسب آمده از ریشه و طوقه چغندرقند با علایم بیماری پوسیدگی خشک که از نواحی مختلف تولید چغندرقند در استان خراسان رضوی در سالهای ۱۳۸۶ و ۱۳۸۷ جمع آوری شده بودند، در این تحقیق مورد بررسی قرار گرفتند. تشخیص و تمایز این جدایه ها به روش های معمول مورفوЛОژیکی و همچنین با استفاده از روشهای مولکولی و کاربرد آغازگر های اختصاصی برای هر گونه انجام گرفت. نتایج نشان داد که از ۳۶ جدایه مورد بررسی، ۳۱ جدایه متعلق به گونه *R. solani* و ۵ جدایه از گونه *R. cerealis* PCR-RFLP بودند. در آنالیز rDNA-ITS در گروه تاکسونومیکی *R. solani*، جدایه های مربوط به زیر گروه IC از گروه آناستوموزی یک (AG1)، شناسایی گردیدند. از ۳۱ AG1-1C جدایه ۱۷ جدایه متعلق به زیر گروه AG2-2 IV، ۱۲ جدایه در زیر گروه AG2-2 IIIB، ۲ جدایه متعلق به زیر گروه AG1-1C شناسایی شد. آزمایشات بیماریزایی بر روی چغندر قند کولتیوار FD0432 نشان داد که جدایه های AG2-2 IIIB و AG2-2 IV در مقایسه با *R. cerealis* و AG1-1C از بیماریزایی بیشتری بر روی ریشه و طوقه گیاهان چغندرقند برخوردار می باشند. در حالیکه جدایه های *R. cerealis* دارای بیشترین بیماریزایی بر روی گیاهچه ها بودند. این اولین گزارش شناسایی و بررسی بیماریزایی زیر گروه های مختلف مربوط به گروه های آناستوموزی AG1 و AG2-2 از قارچ *R. solani* و همچنین گونه دو هسته ای *R. cerealis* جدا شده از چغندرقند در ایران می باشد.

واژه های کلیدی: پوسیدگی ریشه و طوقه، چغندرقند، گروه های تاکسونومیکی، rDNA-ITS، PCR-RFLP, *cereale*

۵۰ درصد موجب کاهش تولید این محصول می گردد. این بیماری توسط قارچ خاکزاد چند هسته ای *R. solani* Kuhn با فرم جنسی *Thanatephorus cucumeris* (A.B. Frank) Donk ایجاد می شود. این قارچ بیمارگر دارای دامنه میزبانی وسیعی است و قادر به آلوه سازی بیش از ۱۴۲ گونه گیاهی متعلق به ۲۷ خانواده شامل گیاهان تک لپه ای و دو لپه ای می باشد. *R. solani* یک گونه پیچیده با گروه های متنوع است و بر اساس پدیده ترکیب هیفها به گروه های یکنواخت متعددی موسوم به گروه های آناستوموزی تقسیم بندی شده است. تا کنون ۱۴ گروه آناستوموزی (AG) برای *R. solani* شناسایی شده اند (۶ و ۸). بسیاری از گروه های آناستوموزی به زیر گروه هایی تقسیم بندی شده اند که موسوم به گروه های ویره داخلی یا Intraspecific groups (ISGs) می باشند. تقسیم بندی گروه های آناستوموزی به پایه دامنه میزبانی، علایم ایجاد شده بر روی میزان، خصوصیات مورفوЛОژیکی و مولکولی انجام شده است (۱۴). در چغندر قند، گونه

مقدمه

بیماریهای ریزوکتونیایی چغندر قند شامل پوسیدگی ریشه و طوقه، مرگ گیاهچه قبل و بعد از سبز شدن، و سوختگی اندام های هوایی همه ساله خسارات عمده ای را در بسیاری از نواحی کشت چغندر قند در دنیا وارد می سازند (۱۰,۵, ۲). عوامل مختلفی نظیر عدم استفاده معادل از کودها و کشت در خاک سنگین با زهکشی کم موجب افزایش حساسیت بافت های گیاه در برابر قارچ بیمارگر و مساعد شدن شرایط برای افزایش شدت بیماری های ریزوکتونیایی این محصول گردیده است. پوسیدگی ریزوکتونیایی ریشه و طوقه، یکی از مخرب ترین و شایع ترین بیماریهای چغندر قند می باشد که تا حدود

۱-۵، ۳، ۲، ۱ به ترتیب استاد، استادیار، استاد، دانشیار و استادیار گروه گیاه‌پردازی، دانشکده کشاورزی، دانشگاه فردوسی مشهد
**- نویسنده مسئول: p-taheri@um.ac.ir (Email: p-taheri@um.ac.ir)
نویسندهان اول و دوم مشارکت مساوی در انجام این پژوهش داشته‌اند.

جریان آب انجام شد. سپس قطعاتی از حدفاصل ناحیه سالم و آلوده از بافت ریشه، طوقه و یا دمبرگ به اندازه ۳-۴ میلیمتر با قرار دادن در محلول هیپوکلریت سدیم ۵/۰ درصد به مدت ۲ دقیقه ضد عفونی سطحی شد. این قطعات گیاهی ۳ بار با قرار دادن در آب مقطر استریل شستشو داده شدند. هر قطعه پس از خشک شدن بر روی کاغذ صافی استریل، بر روی محیط کشت آب آگار اسیدی با (Acidified Water PH=۵/۴ حاوی ۱۰ درصد اسید لاتیک) Agar; AWA) قرار داده شد و در انکوباتور تاریک با دمای ۲۸°C نگهداری شد. پس از ۲ تا ۳ روز، محیط کشت ها مورد بررسی میکروسکوپی قرار گرفتند و مشخصات ویژه میسلیوم مربوط به گونه های ریزوکتونیا در آنها ارزیابی گردید. سپس عمل نوک هیف کردن برای جدایه های ریزوکتونیا انجام شد و نوک هیف ها به محیط کشت AWA برای خالص سازی بیشتر انتقال یافتند. سپس هر جدایه به منظور نگهداری کوتاه مدت به لوله های آزمایش حاوی (Potato-Dextrose-آگار محیط کشت سیب زمینی- دکستروز- Agar; PDA) انتقال یافت و در دمای ۲۸°C نگهداری شد. پس از رشد کامل و تولید اسکلروت ها، لوله های آزمایش حاوی محیط کشت به یخچال (با دمای ۴°C) منتقل شدند. برای نگهداری طولانی مدت جدایه ها از روش نگهداری اسکلروت های لیوفیلیزه شده در دمای ۴°C استفاده شد.

استرین های استاندارد گونه چند هسته ای *R. solani* مورد استفاده در تعیین گروه آناستوموزی جدایه ها شامل (Cs- AG1-IA ، AG1-IC (BV17)،AG1-IB (B19)،Ka) AG3 ، AG2-2 IV (RI64) ،AG2-2 IIIB (C96) ،(PS4) ،AG4-HG II (Rh.165) ،AG4-HG I (AH-1) ،(PH-1) AG7 (1535) ، AG6 HGI (OHT 1-1) ،AG5 (SH-4) و AG8 (W2966) بودند. همچنین استرین های استاندارد دو هسته ای شامل (AG C ،AG Ba (C-484)،AG A (C-538) ،AG E (RH-155) ، AG D (BrG-WP-1)،(55D25)،AG K (AC-1) و AG I (55D21) در این پژوهش بکار برده شدند. تمام استرین های استاندارد از ژاپن (Lab. of Plant Pathology, Research Faculty of Agriculture, Hokkaido University, Japan) دریافت شدند.

بررسی مشخصات مورفولوژیکی

ابتدا جدایه های قارچ ها از نظر تعداد هسته در سلول های جوان میسلیوم و دو یا چند هسته ای بودن با استفاده از روش رنگ آمیزی با تریپان بلو مورد بررسی قرار گرفتند. برای این منظور، قطعه ای میسلیومی از پرگنه جدایه های ریزوکتونیا دو تا سه روز پس از کشت بر روی محیط PDA با تریپان بلو رنگ آمیزی شد و از نظر تعداد هسته در سلول های میسلیوم، وجود دیواره عرضی دولیپور و قطره هیف اصلی ارزیابی گردید.

AG2-2 *R. solani* عامل بیماریهای متنوعی است. جدایه های IIIIB بیشتر موجب بروز پوسیدگی ریشه و طوقه می گردند، و جدایه های IV AG2-2 عامل بیماریهای پوسیدگی ریشه و طوقه و سوختگی اندامهای هوایی می باشند. در حالیکه جدایه های AG4 HG II و گونه دو هسته ای *R. cerealis* بعنوان عوامل ایجاد گروه های آناستوموزی قارچ *R. solani* نیز در گیاهچه های چند رقند یا خاک مزارع آلوده گزارش شده است (۸ و ۱۴).

استراتژی های مدیریت بیماریها باید براساس اکولوژی بیمارگ طرح ریزی گردند و این مورد نیازمند داشتن اطلاعات کامل و دقیق در مورد گروه های تاکسونومیکی و تنوع جمعیت های *R. solani* در نواحی دارا و فاقد آلدگی و بررسی عوامل عدم تاثیر گذار بر روی ساختار ژنتیکی جمعیت های این قارچ می باشد. علاوه بر تشابه عالیم بیماریهای ناشی از گروه های مختلف تاکسونومیکی ریزوکتونیا بر روی چند رقند، تشخیص گونه های مختلف این قارچ تنها براساس خصوصیات مورفولوژیکی، بدلیل عدم ثبات این خصوصیات در محیط کشت، دقیق و قابل اعتماد نمی باشد. همچنین تشخیص زیر گروه های مختلف AG1 تنها بر اساس روش های متداول مورفولوژیکی بررسی گروه آناستوموزی دقیق نمی باشد زیرا ریشه های AG1-1C AG1-1B ، AG1-1A می توانند با یکدیگر ترکیب شوند (۱۴ و ۱۵). بنابراین، هدف از این تحقیق، تمايز قارچ های ریزوکتونیای بیماریزا در چند رقند در سطوح مختلف تاکسونومیکی شامل گونه، گروه آناستوموزی و زیر گروه های آن بر پایه روش های مورفولوژیکی و مولکولی با استفاده از آغازگرهای PCR برای ناحیه ژنومی rDNA-ITS بود. همچنین بیماریزایی جدایه ها بر روی چند رقند رقم FD0432 در دو مرحله رشد شامل گیاهچه و گیاه کامل مورد ارزیابی قرار گرفت.

مواد و روش ها

جدایه های قارچ های مورد بررسی

در این تحقیق، جدایه های *Rhizoctonia* spp. جمع آوری شده از نواحی مختلف کشت چند رقند در استان خراسان رضوی (جدول ۱) به همراه استرین های استاندارد مربوط به گروه های آناستوموزی مختلف در ژاپن (Lab. of Plant Pathology, Research Faculty of Agriculture, Hokkaido University, Japan) مورد استفاده قرار گرفتند. نمونه های مربوط به هر مزرعه با حرکت بر روی اقطار مزرعه از گیاهان دارای عالیم بیماری پوسیدگی ریشه و طوقه جمع آوری شده بودند. به منظور جداسازی قارچ از بافت گیاهی، پس از حذف برگهای نمونه چند رقند، شستشوی ریشه و طوقه و بخش پایه دمبرگها در زیر

جدول ۱ - جدایه های ریزوکتونیا بدست آمده از گیاهان بالغ چندر قند با عالیم بیماری پوسیدگی ریشه و طوقه در نواحی مختلف استان خراسان رضوی

نمونه برداری	شهرستان محل	جدايه سال
تربت حیدریه	1386	TH-1.4, TH-1.5, TH-1.7, TH-1.8, TH-1.11
	1387	TH-2.1, TH-2.4, TH-2.5, TH-2.8
چناران	1386	CH-1.1, CH-1.2, CH-1.3, CH-1.4
	1387	CH-2.1, CH-2.2, CH-2.3, CH-2.7, CH-2.9
فریمان	1386	F-1.4, F-1.5, F-1.6, F-1.9, F-1.12
	1387	F-2.1, F-2.2, F-2.5, F-2.10, F-2.12
مشهد	1386	M-1.3, M-1.4, M-1.6, M-1.11
	1387	M-2.1, M-2.2, M-2.7, M-2.14

برای RS1/RS4 R/Rc2 F/Rc2 R برای شناسایی *R. solani* و *R. cerealis* بودند (جدول ۲).

بررسی گروه های آناستوموزی و آنالیز PCR-RFLP برای ناحیه ITS در rDNA

به منظور بررسی اولیه گروه آناستوموزی جدایه های *R. solani* از روش متداول تعیین گروه آناستوموزی بر روی اسلاید (۱۴) با کاربرد استرین های استاندارد استفاده شد.

برای تعیین زیر گروه های مربوط به جدایه های *R. solani* AG1-AG1-IA موسوم به Cs-Ka موسوم به AG1-IA موسوم به BV17 که هر دو از DNA چندر قند جاذبیت شده بودند، مورد استفاده قرار گرفتند. توده میسلیوم لیوفلیزه شده در نیتروژن مایع کاملا پودر شد و hexadecyl- CTAB (trimethylammonium bromide) استخراج گردید (۱۵ و ۱۶). نهایتاً رسو ب DNA استخراج شده بسته به حجم رسو، در ۵۰ تا ۲۰۰ میکرولیتر از بافر Tris- EDTA (حاوی ۱۰ mM Tris- ۱ mM EDTA pH=8 HCl، ۱ mM با استفاده از اسپکتروفوتومتر و ژل آگارز یک درصد ارزیابی گردید و DNA تا هنگام استفاده در فریزر (-۲۰°C) نگهداری شد.

جدول ۲- آغازگر های مورد استفاده در تشخیص گونه و گروه

آناستوموزی جدایه های <i>Rhizoctonia</i> spp.	
Primer name	Sequence (5' to 3')
RS1	CCTGTGCACCTG TGAGACAG
RS4	TGTCCAAGTCAATGGACTAT
Rc2 F	AAA ACTGGCAACCCTTGGTG
Rc2 R	TAAC T CACC ACTCCAGCCGTT

هر جدایه بر روی سه عدد پتری حاوی PDA کشت و به مدت سه هفته در انکوباتور با دمای ۲۸°C نگهداری شد و سپس جدایه ها از نظر مورفولوژی پرگنه و شکل و سایز سلول های مونیلوئید و اسکلرولت ها بررسی شدند.

استخراج DNA
پرگنه قارچ ها در پتری های استریل یکبار مصرف به قطر ۹۰ میلیمتر و حاوی ۴۰ میلی لیتر محیط کشت مایع Potato-Dextrose-Broth (PDB) در دمای اتاق و بدون استفاده از شیکر رشد داده شدند. میسلیوم پس از گذشت ۵ روز از کشت قارچ و قبل از تشکیل اسکلرولت ها با استفاده از کاغذ صافی استریل، برداشت گردید. توده میسلیوم لیوفلیزه شده در نیتروژن مایع کاملا پودر شد و ژنومی DNA (trimethylammonium bromide) استخراج گردید (۱۵ و ۱۶). نهایتاً رسو ب DNA استخراج شده بسته به حجم رسو، در ۵۰ تا ۲۰۰ میکرولیتر از بافر Tris- EDTA (حاوی ۱۰ mM Tris- ۱ mM EDTA pH=8 HCl، ۱ mM با استفاده از اسپکتروفوتومتر و ژل آگارز یک درصد ارزیابی گردید و DNA تا هنگام استفاده در فریزر (-۲۰°C) نگهداری شد.

تشخیص گونه های ریزوکتونیا بر پایه PCR

برای تعیین گونه جدایه های *Rhizoctonia* spp. مورد بررسی در این تحقیق، از روش PCR با استفاده از آغازگر های اختصاصی طراحی شده برای هر یک از گونه های ریزوکتونیای بیماریزا در چندر قند استفاده شد (۱۷ و ۱۸). یعنی ترکیبات آغازگر شامل

بذرها، تعداد ۴ گیاهچه که رشد یکسان داشتند در هر گلدان نگهداری شده و بقیه گیاهچه ها حذف گردیدند. در هر بار تکرار آزمایش، ۳ گلدان برای هر جدایه مورد استفاده قرار گرفت. تهیه مایه تلقیح هر یک از جدایه های قارچ ریزوکتونیا با استفاده از بذرهای ارزن سترون (Corn Meal Agar) که با قرار گرفتن در سطح محیط کشت (Corn Meal Agar) CMA حاوی هر جدایه به مدت ۴ روز، توسط جدایه های مورد بررسی کلونیزه شده بودند، انجام گرفت (۱۰). از بذرهای ارزن سترون قرار داده شده بر روی محیط کشت فاقد قارچ، بعنوان کنترل برای آزمایشات بیماریزایی استفاده گردید. گیاهچه ها در مرحله ۴ برگی با قرار دادن ۱۰ بذر ارزن کلونیزه شده توسط هر جدایه در سطح خاک از راه گیاهچه (در فاصله ۲ سانتیمتری از گیاهچه) مایه زنی شدند. بلافاصله پس از مایه زنی، گیاهان به اتفاق مرطوب با رطوبت نسبی ۹۲ تا ۱۰۰ درصد در داخل گلخانه منتقل شدند. بررسی پیشرفت بیماری بر روی گیاهچه ها پس از گذشت سه هفته از مایه زنی انجام شد و گیاهچه ها با دادن نمره از صفر تا چهار براساس روش شرح داده شده توسط ناجدران و همکاران (۱۰) با تغییرات مختصر بصورت زیر ارزیابی شدند:

۰: گیاهچه سالم

۱: زخم های نکروزه سطحی در ناحیه ریشه یا هیپوکوتیل

۲: زخم های عمیق با حاشیه قهوه ای تا سیاه رنگ

۳: زخم های عمیق توسعه یافته که هیپوکوتیل را محاصره کرده اند.

۴: مرگ گیاهچه

در نهایت، ساختن ساختن بیماری با استفاده از فرمول زیر محاسبه گردید:

$$\text{Disease Index (DI)} = [(n_1 + 2n_2 + 3n_3 + 4n_4)/4N] \times 100$$

n_1 : تعداد گیاهچه های دارای نمره ۱، n_2 : تعداد گیاهچه های دارای نمره ۲، n_3 : تعداد گیاهچه های دارای نمره ۳، n_4 : تعداد گیاهچه های دارای نمره ۴، N: تعداد کل گیاهچه ها

در آزمایشات مربوط به بررسی بیماریزایی جدایه ها در مرحله گیاه کامل، از گلدان های حاوی یک گیاه ۱۰ هفته ای استفاده شد. در هر بار تکرار آزمایش، ۱۲ گیاه برای هر جدایه مورد استفاده قرار گرفت. مایه زنی به روش ذکر شده برای گیاهچه ها انجام گردید. ارزیابی بیماری بر روی ریشه و طوقه پس از گذشت سه هفته از مایه زنی با دادن نمره از صفر تا شش براساس روش شرح داده شده توسط باهر و همکاران (۲) با تغییرات مختصر بصورت زیر انجام گردید:

۰: ریشه و طوقه فاقد زخم

۱: زخم های سطحی در ناحیه مایه زنی شده طوقه

۲: کمتر از ۵ درصد از سطح ریشه دارای زخم های سطحی

۳: ۵ تا ۲۵ درصد از سطح ریشه دارای زخم های عمیق

۴: ۲۶ تا ۵۰ درصد از سطح ریشه دارای زخم های عمیق و توسعه یافته

نهایتاً از محصول PCR برای تمایز زیر گروه های تاکسونومیکی جدایه های AG1 با بکار بردن دو آنزیم محدود کننده *MunI* و *MseI* و با کاربرد استرین های استاندارد مربوط به این زیر گروه ها استفاده شد. هر یک از واکنش های PCR-RFLP شامل ۷ میکرولیتر از محصول PCR، ۱۰ واحد آنزیم محدود کننده، ۲ میکرولیتر بافر واکشن، ۲/۰ میکرولیتر بووین سرم آلومنین و آب دو بار تقطیر استریل تا رسیدن به حجم نهایی ۲۰ میکرولیتر بود. سپس تیوب ها در حمام آب گرم با دمای ۳۷°C به مدت ۳ ساعت قرار داده شدند و بمنظور پایان دادن به واکنش بمدت ۵ دقیقه در حمام آب گرم ۷۰°C قرار گرفتند و تا زمان بررسی در ژل آگارز، در فریزر -۲۰°C نگهداری شدند.

با توجه به اینکه زیر گروه های مربوط به جدایه های AG2-2 از *R. solani* در روش PCR-RFLP طرح باندی مشابهی می دهند (۹)، استفاده از این روش برای متمایز کردن جدایه های مربوط به AG2-2 IV و AG2-2 IIB از یکدیگر امکان پذیر نمی باشد. همچنین بدليل اینکه ریسه های جدایه های این دو زیر گروه قادر به ترکیب با یکدیگر می باشند، تشخیص جدایه های این دو زیر گروه علاوه بر اساس تعیین گروه آناستوموزی بر روی اسلاید قابل اعتماد نمی باشد (۱۴). بنابراین، برای تشخیص جدایه های این دو زیر گروه، از روش بررسی امکان رشد جدایه ها در دمای ۳۵°C بر روی محیط کشت PDA استفاده شد (۷ و ۱۴). آزمایش سه بار تکرار شد و در هر بار انجام آزمایش، برای هر جدایه ۴ پتری (تکرار) در نظر گرفته شد.

بررسی بیماریزایی

بیماریزایی تمام جدایه های *R. solani* متعلق به زیر گروه های AG1-IC، AG2-2 IV و AG2-2 IIIB و همچنین جدایه های FD0432 در *R. cerealis* بر روی چندرقند رقم در بررسی قرار گرفت. بذر این واریته از موسسه تحقیقات چندرقند استان خراسان رضوی دریافت شدند. بذرها ابتدا به مدت ۲۴ ساعت در محلول پراکسید هیدروژن ۳٪ درصد خیسانده شدند و بمنظور جوانه زدن، در پتری های حاوی کاغذ صافی استریل مرطوب به مدت ۴۸ ساعت در انکوباتور با دمای ۲۸°C قرار داده شدند. سپس بذرها در گلдан های پلاستیکی حاوی مخلوطی از خاک بکر و ماسه بادی (۱:۲) ستروند در عمق ۲ سانتیمتری خاک کشت شدند. آزمایش در قالب طرح کاملاً تصادفی با سه تکرار و تحت شرایط گلخانه شامل دمای ۴۰ ± ۳°C و شرایط نوری ۱۶ ساعت روشنایی و ۸ ساعت تاریکی در شبانه روز، انجام گردید.

در آزمایشات مربوط به بررسی بیماریزایی جدایه ها در مرحله گیاهچه ای، ابتدا در هر گلدان ۶ بذر کشت شد و پس از سیز شدن

رنگ سفید بود که در طی ۳ هفته بتدریج به قهوه ای روشن تغییر رنگ دادند. این جدایه ها اسکلروت های ریز کروی متعددی به قطر ۲۰ تا ۵۰ میلیمتر بر روی PDA ایجاد کردند. این اسکلروت ها در ابتدا سفید رنگ بودند و با افزایش سن و بلوغ برنگ قهوه ای در آمدند. در این جدایه های دو هسته ای علاوه بر اسکلروت ها، تولید سلول های مونیلوئید طوبیل به ابعاد $21-30 \times 12-8$ میکرومتر در محیط کشت مشاهده گردید.

تمایز گونه های ریزوکتونیا بر پایه PCR

ناحیه rDNA-ITS برای تمام جدایه های *R. solani* مورد بررسی با استفاده از ترکیب آغازگر اختصاصی این گونه (RS1/RS4) (kb) تکثیر شد. محصول PCR یک باند به سایز ۰.۵۵ کیلو باز (kb) برای تمام جدایه های این گونه بود (شکل ۱). این نتایج، با نتایج بدست آمده توسط سایر محققان در استفاده از این آغازگرها برای تکثیر ناحیه ژنومی tDNA-ITS برای جدایه های *R. solani* بدست آمده از گیاهان مختلف مطابقت دارد (۹ و ۱۵).

آغازگرهای R Rc2 F/Rc2 که بر اساس توالی های حفاظت شده موجود در ژنوم جدایه های مختلف گونه *R. cerealis* بدست آمده از گیاهان گندم طراحی شده اند، توسط سایر محققان نیز برای شناسایی جدایه های این گونه مورد استفاده قرار گرفته اند (۱۱). نیکلسون و پری گزارش کردند که این ترکیب آغازگر، فقط در جدایه های گونه *R. cerealis* قادر به همانند سازی قطعه ای از DNA به اندازه ۰.۸ کیلو باز می باشد. بنابراین، تشخیص گونه *R. cerealis* جدا شده از گندم به کمک این آغازگرها را روشی سریع و دقیق برای شناسایی این گونه معرفی کردند (۱۱). در این پژوهش، با کاربرد آغازگرهای R Rc2 F/Rc2 نتایج مشابهی در شناسایی جدایه های *R. cerealis* بیماریزا در چندر قند بدست آمد. بنابراین، آغازگرهای مذکور نه تنها برای شناسایی جدایه های *R. cerealis* بدست آمده از گندم، بلکه همچنین برای شناسایی جدایه های این گونه بیماریزا در چندر قند نیز می توانند بکار برد شوند.

بطور کلی، روش شناسایی مولکولی گونه های ریزوکتونیای بیماریزا در چندر قند با استفاده از آغازگرهای طراحی شده براساس نواحی حفاظت شده DNA و توالی های rDNA-ITS، روش دقیقی برای شناسایی و تمایز دو گونه *R. cerealis* و *R. solani* جدا شده از چندر قند بود و نتایج بررسی های اولیه مورفو لوژیکی برای تشخیص این گونه ها را تایید نمود.

۵: ۷۵ تا ۷۵ درصد از سطح ریشه دارای زخم های عمیق که در پافت های داخلی ریشه پیشرفت کرده اند.

۶: ۱۰۰ تا ۱۰۰ درصد از سطح ریشه دارای پوسیدگی خشک و مرگ اندام های هوایی گیاه در نهایت، شاخص بیماری با استفاده از فرمول زیر محاسبه گردید:

$$\text{Disease Index (DI)} = [(n_1 + 2n_2 + 3n_3 + 4n_4 + 5n_5 + 6n_6) / 6N] \times 100$$

n_1 : تعداد گیاهان دارای نمره ۱، n_2 : تعداد گیاهان دارای نمره ۲، n_3 : تعداد گیاهان دارای نمره ۳، n_4 : تعداد گیاهان دارای نمره ۴، n_5 : تعداد گیاهان دارای نمره ۵، n_6 : تعداد گیاهان دارای نمره ۶، N : تعداد کل گیاهان

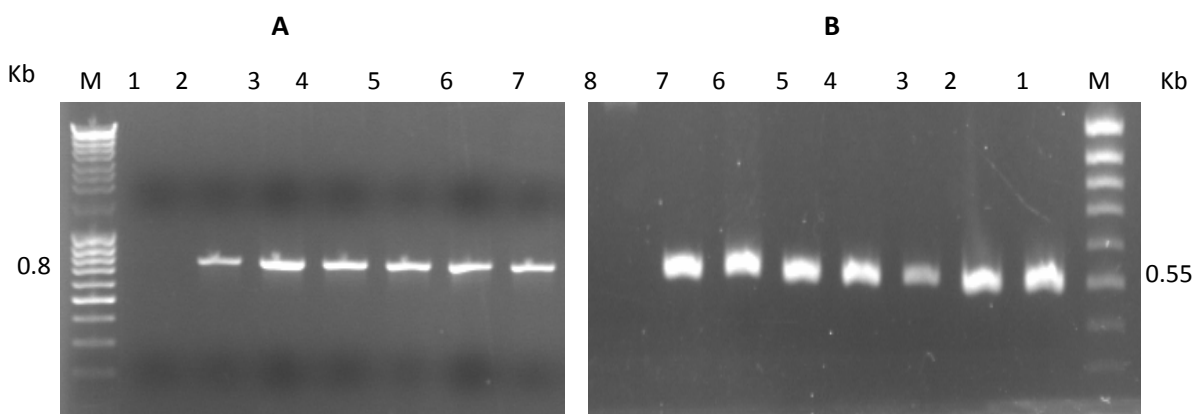
آنالیز آماری داده ها با استفاده از آزمون های مقایسه ای Kruskall-Wallis تکمیل شده با آزمون Mann-Whitney با استفاده از نرم افزار SPSS 1.12 و در سطح P=0.05 انجام گردید. هر یک از جدایه ها از گیاهان مایه زنی شده مجدداً جداسازی گردیدند.

نتایج و بحث

مشخصات مورفو لوژیکی

از ۳۶ جدایه بدست آمده از گیاهان چندر قند در نواحی مختلف کشت این محصول در استان خراسان رضوی، ۳۱ جدایه چند هسته ای و ۵ جدایه دو هسته ای بودند. تعداد هسته در هر سلول میسیلیوم در جدایه های چند هسته ای از ۴ تا ۱۴ و عرض میسیلیوم اصلی از ۷ تا ۱۲ میکرومتر متغیر بود. جدایه های دو هسته ای فقط دارای دو هسته در هر سلول میسیلیوم بودند. در آنها عرض میسیلیوم اصلی بین ۴ تا ۷ میکرومتر متغیر بود و تولید میسیلیوم هوایی در محیط کشت PDA مشاهده شد. در تمام جدایه های چند هسته ای، رنگ میسیلیوم در این محیط کشت در ابتدا سفید بود که بتدریج به رنگ قهوه ای در ۳۰-۱۷-۹ میکرومتر متغیر بود. تولید میسیلیوم هوایی در ۳۱ جدایه چند هسته ای مشاهده شد. از ۳۱ جدایه ریزوکتونیای چند هسته ای، ۱۷ جدایه دارای خصوصیات مورفو لوژیکی (مورفو لوژی کلونی و شکل و سایز اسکلروت ها) مشابه زیر گروه AG2-2 IIIB از گونه *R. solani* ۱۲ جدایه با خصوصیات مشابه IV AG2-2، ۲ جدایه دارای خصوصیات مورفو لوژیکی شبیه به AG1-IC (۱۴ و ۱۵) بودند.

پرگنه جدایه های دو هسته ای در محیط PDA از جدایه های چند هسته ای متمایز بود. در جدایه های دو هسته ای، پرگنه ابتدا به



شکل ۱- نتایج PCR مربوط به ژنومی جدایه های *R. cerealis* (شماره های ۱ تا ۷ در شکل A) و *R. solani* (شماره های ۲ تا ۷ در شکل B) به ترتیب با استفاده از آغازگرهای اختصاصی R- RS1/RS4 و Fc2 F/Rc2 (متصل به گونه *R. solani*) و Brg- (متصل به گونه *R. cerealis*) استرین استاندارد گونه C96 (استرین استاندارد گونه *R. solani*) و M-1.4 (متصل به استرین استاندارد گونه WP-1 (استرین استاندارد گونه *R. cerealis*) هستند. شماره های ۱ و ۸ در شکل B به ترتیب جدایه های C96 (استرین استاندارد گونه *R. solani*) و M-1.4 (متصل به گونه *R. cerealis*) می باشند. M نشانگر مولکولی سایز باندها می باشد.

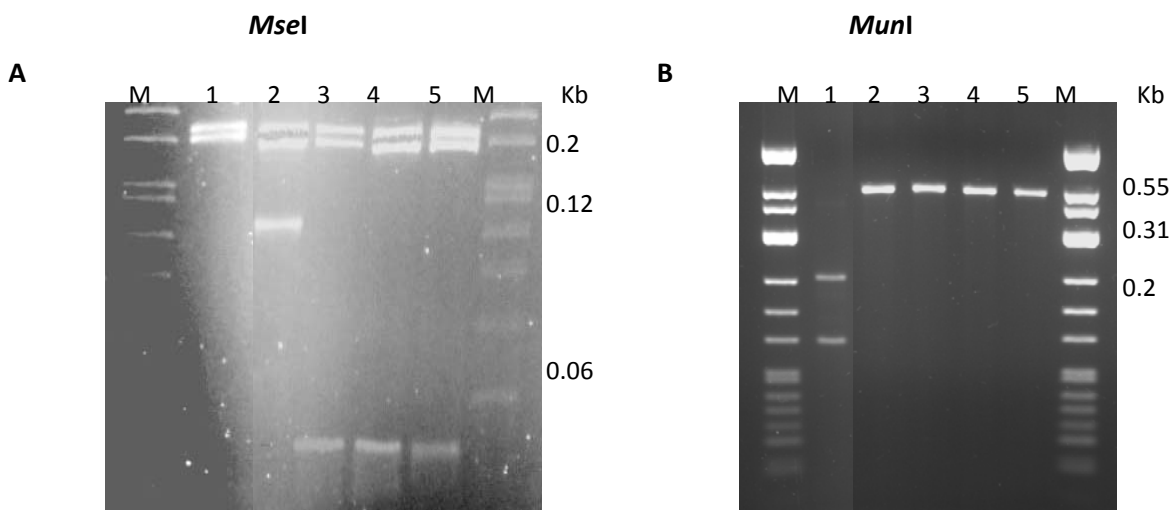
محصول PCR با این آنزیم شامل باندهایی به اندازه ۱۲/۰ کیلوباز برای استرین AG1-IB و ۶/۰ کیلوباز برای استرین AG1-IC و جدایه های F-1.12 و CH-1.4 بودند (شکل A). قطعات برش خورده مربوط به هضم بوسیله *MunI* استرین استاندارد AG1-IA به اندازه های ۲/۰ و ۰/۳۱ کیلوباز بودند، در حالیکه استرین های استاندارد AG1-IB و AG1-IC و همچنین دو جدایه متعلق به AG1 بدست آمده در این پژوهش (F-1.12 و CH-1.4) محل برشی برای این آنزیم نداشتند و محصول PCR برش خورده به سایز ۵۵/۰ کیلوباز در ژل پس از کاربرد *MunI* مشاهده گردید (شکل B).

در مورد هضم با هر یک از آنزیم های *MseI* و یا *MunI* باندهای با سایز کمتر از ۵/۰ کیلوباز در نظر گرفته نشدند زیرا این باندها به آسانی در ژل آگارز قابل مشاهده نمی باشند. واکنش PCR-RFLP دوبار با نتایج مشابه تکرار گردید.

با استفاده از این دو آنزیم محدود کننده، سایز قطعات حاصل از برش ناحیه rDNA-ITS در جدایه های هر یک از زیر گروه های گروه آناستوموزی یک، کاملا مانند سایز قطعات بدست آمده برای جدایه های این زیر گروه ها در سایر تحقیقات انجام شده بود (۹ و ۱۵). بدین ترتیب، طرح باندی مشابهی برای جدایه های F-1.12 و CH-1.4 حاصل از این پژوهش، و استرین استاندارد زیر گروه AG1-IC با استفاده از آنزیم های برشی *MseI* و یا *MunI* بدست آمد (شکل ۲). این نتایج نشان دهنده متعلق بودن دو جدایه مذکور به زیر گروه تاکسونومیکی AG1-IC و تایید کننده نتایج بررسی مشخصات مورفولوژیکی این جدایه ها می باشد.

بررسی گروه آناستوموزی و آنالیز PCR-RFLP
در آزمایشات تعیین گروه آناستوموزی جدایه های *R. solani* بر روی اسلاید میکروسکوپی مشاهده شد که دو جدایه های CH-1.4 و F-1.12 (جدول ۱) قادر به آناستوموز با استرین استاندارد مربوط به AG1-IA، همچنین با استرین های استاندارد AG1-IB و AG1-IC بودند. بدین ترتیب، تعیین زیر گروه آناستوموزی این دو جدایه با استفاده از روش معمول بررسی آناستوموز هیفها بر روی اسلاید امکان پذیر نبود. این نتایج با گزارش آگوشی (۱۲) درباره توان آناستوموز جدایه های سه زیر گروه مربوط به AG1 با یکدیگر مطابقت دارد (۱۴). همچنین اخیرا نتایج مشابهی در مورد آناستوموز جدایه های این سه زیر گروه بدست آمده از گیاهان برنج مشاهده شده است (۱۵).
روش PCR-RFLP توصیف شده توسط گیلموت و همکاران (۹) روشی مفید برای تمایز سریع و دقیق جدایه های هر یک از سه زیر گروه AG1 از یکدیگر بود. در این روش، ابتدا ناحیه ITS شامل ITS1 و ITS2 و ۵.۸S برای جدایه های CH-1.4 و AG1-IA و جدایه های استاندارد زیر گروه های F-1.12 و AG1-IC در واکنش PCR با استفاده از آغازگرهای RS1/RS4 (که در مرحله قبل برای شناسایی جدایه های گونه *R. solani* بکار رفته بودند) همانند سازی گردید. سپس محصول این واکنش با استفاده از دو آنزیم محدود کننده *MseI* و *MunI* هضم گردید.

قطعات برش خورده حاصل از کاربرد آنزیم محدود کننده *MseI* شامل دو باند بزرگتر با سایز مشابه در حدود ۲/۰ کیلوباز برای جدایه های F-1.12 و CH-1.4 و همچنین برای استرین های استاندارد هر سه زیر گروه بودند. باندهای کوچکتر حاصل از هضم



شکل ۲- باندهای بدست آمده در روش PCR-RFLP پس از هضم محصول PCR با استفاده از آنزیم محدود کننده **(A)** *MseI* و **(B)** *MunI*، جدایه های مربوط به هر یک از شماره های ذکر شده در بالای هر ژل عبارتند از: ۱ = CSKA (استرین استاندارد زیر گروه AG1-IA)، ۲ = B19 (استرین استاندارد زیر گروه AG1-IB)، ۳ = BV17 (استرین استاندارد زیر گروه AG1-IC)، ۴ = F-1.12 (استرین استاندارد زیر گروه CH-1.4)، ۵ = AG1-IC (شنانگر مولکولی سایز میکرو). مارکر مولکولی سایز میکرو (M) نشانگر مولکولی سایز میکرو است.

استرین استاندارد AG-D برگ WP-1 مربوط به R. solani از قارچ های ریزوکتونیای دو هسته ای که معرف گونه *R. cerealis* می باشد (۱۴) مشاهده گردید.

بررسی بیماریزایی

تمام جدایه های مورد بررسی بر روی گیاهان کامل چندرقند بیماریزا بودند. گیاهان کنترل که با بذر های ارزن کلونیزه نشده مایه زنی شده بودند، هیچ گونه عالیمی نشان ندادند. جدایه های *R. solani* متعلق به زیر گروه های IIIB و AG2-2 IV باز بیماری پوسیدگی خشک را بر روی ریشه و طوقه ایجاد نمودند. این عالیم شامل زخم های قهوه ای تیره تا خاکستری رنگ در ناحیه طوقه بود که بتدریج در سطح ریشه توسعه یافته و گاهی اوقات، توسط شیاری احاطه می شد. در برخی موارد، در ناحیه زخم های خشک و تیره رنگ ایجاد شده در سطح ریشه، تولید اسکلروت های قارچ عامل بیماری نیز مشاهده می گردید. در این گیاهان، عالیم در انداه های هوایی شامل زردی و پیمردگی برگها بود. آنالیز آماری داده های آزمایشات بیماریزایی نشان داد که جدایه های AG2-2 IIIB دارای بیشترین شدت بیماریزایی بر روی ریشه و طوقه گیاهان کامل چندرقند بودند و شاخص بیماری ناشی از جدایه های این زیر گروه، دارای تفاوت معنی داری با شاخص بیماری بدست آمده برای جدایه های AG2-2 IV در این پژوهش بود. جدایه های AG1-IC کمترین بیماریزایی را بر روی ریشه و طوقه گیاهان *R. cerealis* و

بررسی گروه آناستوموزی سایر جدایه های *R. solani* بر روی اسلامید نشان داد که ۲۹ جدایه این گونه بدست آمده از چندرقند، قادر به آناستوموز با استرین های استاندارد زیر گروه های AG2-2 IIIB و AG2-2 IV می باشند. بنابراین، تمایز جدایه های این دو زیر گروه بر اساس تعیین گروه آناستوموزی به روش معمول میکروسکوپی عملی نمی باشد. قابلیت آناستوموز جدایه های دو زیر گروه AG2-2 IIIB و AG2-2 IV با یکدیگر و همچنین در برخی موارد با جدایه های AG2-1 توسط سایر محققان نیز گزارش شده است (۷ و ۱۴). بررسی توان رشد جدایه ها بر روی محیط کشت PDA پس از ۶ روز در دمای ۳۵°C نشان داد که تعداد ۱۷ جدایه که با استرین های استاندارد دو زیر گروه مربوط به AG2-2 قادر به آناستوموز بودند، در دمای ۳۵°C رشد کردند. در حالیکه ۱۲ جدایه فاقد توان رشد در دمای ۳۵°C بودند (نتایج نشان داده نشده اند). در منابع مختلف، جدایه های قادر به آناستوموز با زیر گروه های AG2-2 IIIB و AG2-2 IV شناخته شده اند (۷ و ۱۴). بنابراین، نتایج این پژوهش نشان دهنده وجود ۱۷ جدایه متعلق به AG2-2 IIIB و ۱۲ جدایه از زیر گروه AG2-2 IV در بین جدایه های بدبست آمده از مزارع چندرقند استان خراسان رضوی می باشد.

در آزمایشات تعیین گروه آناستوموزی جدایه های دو هسته ای ریزوکتونیا، واکنش آناستوموز تنها بین ریشه رویشی این جدایه ها و

جدول ۳ - نتایج آزمون بیماربیزایی جدایه ها بر روی چندر قند در مرحله گیاهچه و گیاه کامل

جدایه	گروه تاکسونومیکی	DI _{rc}	DI _s
CH-2.3	AG 2-2 IIIB	95.2 a	55.2 b
CH-1.2	AG 2-2 IIIB	93.0 a	42.7c
F-2.5	AG 2-2 IIIB	92.4 a	24.7 d
F-1.6	AG 2-2 IIIB	88.3 a	30.2 d
F-1.5	AG 2-2 IIIB	86.5 ab	17.9 e
F-2.10	AG 2-2 IIIB	81.3 b	18.7 e
M-2.1	AG 2-2 IIIB	78.2 b	21.0 e
F-2.12	AG 2-2 IIIB	73.5 b	9.2 f
M-1.11	AG 2-2 IIIB	72.2 bc	11.8 e
CH-2.2	AG 2-2 IIIB	67.9 c	24.1 d
TH-2.1	AG 2-2 IIIB	67.5 c	6.2 f
M-2.14	AG 2-2 IIIB	66.2 c	7.4 f
F-1.9	AG 2-2 IIIB	58.9 cd	39.3 c
CH-1.3	AG 2-2 IIIB	58.4 cd	4.1 f
CH-2.7	AG 2-2 IIIB	57.2 d	32.2 d
TH-1.11	AG 2-2 IIIB	55.9 d	7.1 f
TH-2.8	AG 2-2 IIIB	55.0 d	16.3 e
M-2.7	AG 2-2 IV	38.2 e	41.0 c
F-1.4	AG 2-2 IV	36.1 e	18.2 e
F-2.1	AG 2-2 IV	33.9 e	10.5 ef
TH-1.5	AG 2-2 IV	33.5 e	16.8 e
M-2.2	AG 2-2 IV	33.2 e	6.8 f
M-1.6	AG 2-2 IV	29.8 e	10.3 ef
M-1.3	AG 2-2 IV	26.2 f	2.2 f
TH-1.4	AG 2-2 IV	24.8 f	57.4 ab
CH-1.1	AG 2-2 IV	24.0 f	55.4 b
F-2.2	AG 2-2 IV	23.1 f	57.8 b
TH-2.4	AG 2-2 IV	22.7 f	32.5 cd
TH-2.5	AG 2-2 IV	22.3 f	31.7 d
CH-1.4	AG 1-IC	9.1 g	3.9 f
F-1.12	AG 1-IC	7.4 g	0.0 f
M-1.4	R. cerealis	5.2 g	92.4 a
TH-1.8	R. cerealis	4.5 g	87.3 a
CH-2.1	R. cerealis	4.0 g	97.2 a
TH-1.7	R. cerealis	2.5 g	55.7 b
CH-2.9	R. cerealis	0.8 g	96.4 a

، بیماری بر روی ریشه و طوفه در گیاهان کامل: DI_{rc}، شاخص بیماری در گیاهچه ها: DI_s:

بطور کلی تنوع زیادی در توان بیماربیزایی جدایه های مربوط به زیر گروه های مختلف AG1 در گیاهان گوناگون به اثبات رسیده

کامل نشان دادند (جدول ۳). بطور کلی، جدایه های AG2-2 IIIB و AG2-2 IV بعنوان مهمترین گروه های تاکسونومیکی قارچ خاکزاد R. solani بیماربیزایی در ریشه و طوفه چندر قند در نواحی مختلف دنیا شناخته شده اند (۱۴، ۲۵، ۱۶). بررسی های انجام شده توسط سایر محققان نشانگر بیماربیزایی بیشتر جدایه های AG2-2 IIIB در مقایسه با AG2-2 IV بر روی ریشه و طوفه چندر قند است (۷) که دارای مطابقت با یافته های حاصل از این پژوهش می باشد.

جدایه های R. solani متعلق به AG1-IC گیاهان چندر قند از گیاهان چندر قند و همچنین از خاک مزارع کشت این گیاه جداسازی شده اند (۸ و ۱۴). اما در مورد بیماربیزایی جدایه های متعلق به این زیر گروه تاکسونومیکی در گیاهچه و یا گیاه کامل چندر قند گزارشی داده نشده است. در این پژوهش، بیماربیزایی خفیف جدایه های این زیر گروه بر روی ریشه و طوفه گیاهان چندر قند مشاهده شد.

بررسی بیماربیزایی جدایه ها بر روی چندر قند در مرحله گیاهچه ای نشان داد که جدایه های R. cerealis از بیشترین بیماربیزایی بر AG2-2 IIIB گیاهچه ها برخوردارند. جدایه های زیر گروه های R. solani از گونه AG2-2 IV نیز بر روی گیاهچه ها بیماربیزا بودند اما بیماربیزایی اغلب جدایه های مربوط به این دو زیر گروه بطور معنی داری کمتر از بیماربیزایی جدایه های R. cerealis در این مرحله از رشد گیاه بود. شاخص بیماری بدست آمده برای دو جدایه CH-1.4 و F-1.12 متعلق به AG1-IC به ترتیب برابر با ۳/۹ و ۳/۶ صفر بود که از نظر آماری فاقد اختلاف معنی دار با یکدیگر بودند (جدول ۳). بنابراین، می توان نتیجه گرفت که این دو جدایه فاقد توان بیماربیزایی در گیاهچه های چندر قند می باشند. برای تعیین این نتیجه به زیر گروه AG1-IC بررسی های تکمیلی با بکار بردن تعداد بیشتری جدایه از این زیر گروه (بدست آمده از چندر قند) ضروری به نظر می رسد. تاکنون، ایجاد مرگ گیاهچه در چندر قند در اثر گونه AG2-2 IIIB cerealis و همچنین گروه های تاکسونومیکی AG4، AG5 و AG6 (بدون ذکر زیر گروه آناستوموزی) به اثبات رسیده است (۱۰، ۱۳ و ۱۴).

در بررسی انجام شده توسط مومنی و همکاران بر روی سه جدایه های متعلق به AG1، این جدایه ها بعنوان عامل مرگ گیاهچه و فاقد توان ایجاد پوسیدگی ریشه و طوفه چندر قند معرفی شدند. اما آنها زیر گروه تاکسونومیکی جدایه های مورد بررسی خود را شناسایی نکرده بودند (۱). در این پژوهش، نتایج آزمایشات مورفولوژیکی و مولکولی انجام شده نشان داد که جدایه های AG1 بدست آمده از گیاهان بالغ چندر قند مزارع استان خراسان رضوی مربوط به زیر گروه IC بوده و فاقد توان بیماربیزایی در گیاهچه های چندر قند می باشند. عدم مطابقت نتایج حاصل از این پژوهش با یافته های مومنی و همکاران می تواند بیانگر احتمال متعلق بودن جدایه های مورد بررسی آنان به سایر زیر گروه های AG1 باشد.

مراحل مختلف رشد گیاه چندرقند مورد بررسی قرار نگرفته است، این مورد می‌تواند در بررسی‌های آینده مدنظر قرار گیرد.

است (۸ و ۱۵). بنابراین با توجه به اینکه تاکنون بیماریزایی جدایه‌های مربوط به سه زیر گروه IA، IB و IC از این گروه آناستوموزی در

منابع

- مومنی ح، فلاحتی رستگار م، و جعفریبور ب. ۱۳۸۵. تعیین گروه‌های ریسه پیوند جدایه‌های بیماریزایی قارچ ریزوکتونیا سولانی در مزارع چندرقند استان خراسان. مجله علوم و صنایع کشاورزی ۲۰:۴۷-۵۶.
- 2- Buhre C., Kluth C., Burckey K., Marlander B., and Varrelmann M. 2009. Integrated control of root and crown rot in sugar beet: Combined effects of cultivar, crop rotation, and soil tillage. Plant Dis. 93:155-161.
- 3- Buhre C., Wagner G., Kluth S., Kluth C., Apfelbeck R., and Varrelmann M. 2007. Resistance of sugar beet varieties as basis for the integrated control of root and crown rot (*Rhizoctonia solani*). Zuckerindus. 132:50-55.
- 4- Buttner G., Ithurralde M.E.F., and Buddeley J. 2002. Root and crown rot *Rhizoctonia solani*-distribution, economic importance and concepts of integrated control. Zuckerindus. 127:856-866.
- 5- Buttner G., Pfalher B., and Marlander B. 2004. Greenhouse and field techniques for testing sugar beet for resistance to Rhizoctonia root and crown rot. Plant Breed. 123:158-166.
- 6- Carling D.E. 1996. Grouping in *Rhizoctonia solani* by hyphal anastomosis. Pages 37-47 in: *Rhizoctonia Species: Taxonomy, Molecular Biology, Ecology, Pathology and Disease Control*. B. Sneh, S. Jabaji-Hare, S. Neate, and G. Dijst, eds. Kluwer Academic Publishers, Dordrecht, the Netherlands.
- 7- Engelkes C.A., and Windels C.E. 1996. Susceptibility of sugar beet and beans to *Rhizoctonia solani* AG2-2 IIIB and AG2-2 IV. Plant Dis. 80:1413-1417.
- 8- González García V., Portal Onco M.A., and Rubio Susan V. 2006. Biology and Systematics of the form genus *Rhizoctonia*. Spanish J. Agric. Res. 4:55-79.
- 9- Guillemaut C., Herman V.E., Camporota P., Alabouvette C., Molard M.R., and Steinberg C. 2003. Typing of anastomosis groups of *Rhizoctonia solani* by restriction analysis of ribosomal DNA. Can. J. Microbiol. 49:556-568.
- 10- Nagendran S., Hammerschmidt R., and McGrath J.M. 2009. Identification of beet germplasm EL51 as a source of resistance to post-emergence Rhizoctonia damping-off. Eur. J. Plant Pathol. 123:461-471.
- 11- Nicholson P., and Parry D.W. 1996. Development and use of a PCR assay to detect *Rhizoctonia cerealis*, the cause of sharp eyespot in wheat. Plant Pathol. 45:872-883.
- 12- Ogoshi A. 1987. Ecology and pathogenicity of anastomosis and intraspecific groups of *Rhizoctonia solani*. Ann. Rev. Phytopathol. 25:125-143.
- 13- Osullivan E., and Kavanagh J.A. 1991. Characteristics and pathogenicity of isolates of *Rhizoctonia* spp. associated with damping-off of sugar beet. Plant Pathol. 40:128-135.
- 14- Sneh B., Burpee L., and Ogoshi A. 1991. Identification of *Rhizoctonia* Species. The American Phytopathological Society Press, St. Paul, MN. Pages: 69-88.
- 15- Taheri P., Gnanamanickam S., and Höfte M. 2007. Characterization, genetic structure, and pathogenicity of *Rhizoctonia* spp. associated with rice sheath diseases. Phytopathology 97:373-383.
- 16- Weiland J.J., and Sundsbak J.L. 2000. differentiation and detection of sugar beet fungal pathogens using PCR amplification of actin coding sequences and the ITS region of the rRNA gene. Plant Dis. 84:475-482.
- 17- Zolan M., and Pukkila P. 1986. Inheritance of DNA methylation in *Coprinus cinereus*. Mol. Cell. Biol. 6:195-200.